



# 深圳市晶创和立科技有限公司

## 规格承认书

### APPROVAL SHEET

客户名称:

CUSTOMER \_\_\_\_\_

产品名称:

PART NAME NTC-MF55 薄片热敏电阻

产品规格:

PART NUMBER MF55-103F—3435F

日期:

DATE \_\_\_\_\_

确 认

CONFIRM

客户

品保部: \_\_\_\_\_

制造部: \_\_\_\_\_

工程部: \_\_\_\_\_

供货商/制造商

制作: \_\_\_\_\_

审核: \_\_\_\_\_

核准: \_\_\_\_\_

地址: 深圳市龙华新区民治街道牛栏前天官安防大厦C913

电话: 0755-23210829 传真: 0755-23210825

网址: www.szjchl.com 邮箱: mk0622@163.com

1) 型号： **103F—3435F**

2) 主要参数

2-1) 阻值  $R_{25} : 10k\Omega \pm 1\% \text{ (at } 25^\circ\text{C)}$

2-2) B 值  $B_{25/85} : 3435K \pm 1\%$

这是一款介于 25°C 和 85°C 之间计算出的数值.

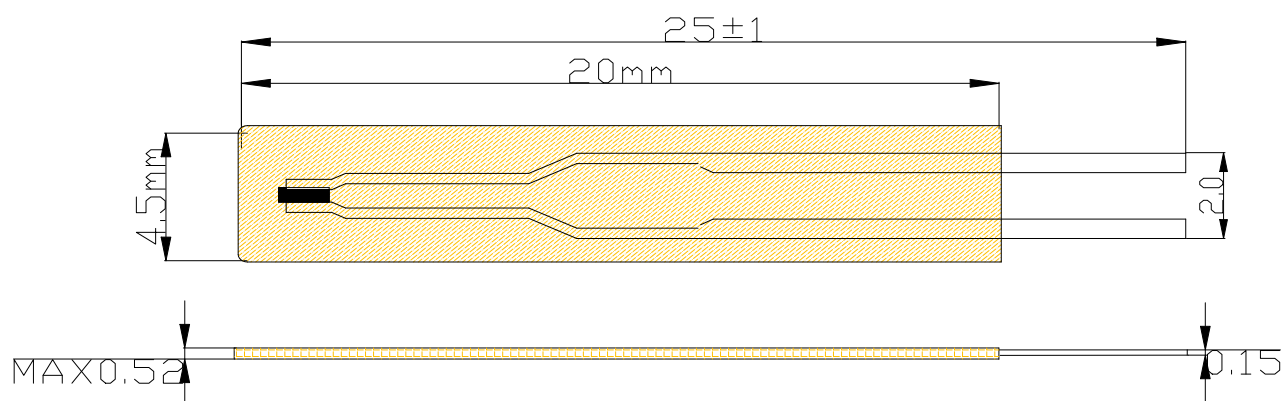
2-3) 耗散系数 : . 0.7 mW/°C

2-4) 热时间常数 : . 5 s

2-5) 功率. : 2.5 mW (at 25°C)

2-6) 工作温度 : -40 ~ 90 °C

3) 图纸: mm





## 4) 绝缘试验

### 4-1) 绝缘试验

在产品外层绝缘材料抗阻值为大于  $100M\Omega$  , 在绝缘层施加直流电压为 100V 时此产品不会被击穿。

## 5) 电气性能试验

### 5-1) 高温试验:

在产品经过环境为  $90 \pm 2\text{ }^{\circ}\text{C}$  1,000 个小时后, 本产品变化幅度可以控制在  $\pm 1\%$  以内。 .

### 5-2) 恒温恒湿试验:

在产品经过环境湿度为 95% 环境温度为  $65 \pm 2\text{ }^{\circ}\text{C}$  情况下 1,000 小时后, 本产品变化幅度可以控制在  $\pm 1\%$  以内。 .

### 5-3) 低温试验:

在产品经过环境温度为  $-30\text{ }^{\circ}\text{C}$  1,000 小时后, 本产品变化幅度可以控制在  $\pm 1\%$  以内

### 5-4) 工作状态试验:

电阻在经过 1mA 恒定电流状态下, 在产品经过环境湿度为 95% 环境温度为  $65\text{ }^{\circ}\text{C}$  情况下 1,000 小时后, 本产品变化幅度可以控制在  $\pm 1\%$  以内

### 5-5) 冲击试验:

在产品经过环境为  $-30\text{ }^{\circ}\text{C}$  30 分钟, 然后放置在室温 3 分钟进入.

+  $90\text{ }^{\circ}\text{C}$  环境放置 30 分钟。再拿出在室温 3 分钟。连续循环 100 次。本产品变化幅度可以控制在  $\pm 1\%$  以内。



# 深圳市晶创和立科技有限公司

## 5-6) 通电高温试验:

在产品经过直流为1mA 电流, 环境温度为+90°C 1,000 小时, 本产品变化幅度可以控制在±1%以内

## 6) 物理测试:

### 6-1) 拉力测试

在产品经过 1N 拉力情况下时间 10s, 此款产品胶体与引线连接处不会脱落。

### 6-2) 自由落体测试:

在经过 1m 高的位置此产品落下, 此款产品不会产生破损现象。

### 6-3) 焊接测试

在产品经过距离芯片 25 mm 处, 焊接温度为 235°C ±10%, 时间为 1 ±0.5s, 本产品变化幅度可以控制在±1%以内。

## 7) 操作要求:

7-1) 本产品电极焊接处焊接温度请不要超过 275°C。焊接时间不超过 2.5s. 以免前端芯片锡焊处因传导温度过高而脱落!!

2-2) 焊接或搬运及其它操作过程中请不要人为使之严重变形。以免折损芯片或电极!!

$R_{(25^{\circ}\text{C})}=10.00\text{k}\Omega$ $B_{(25^{\circ}\text{C}/85^{\circ}\text{C})}=3435.00\text{K}$									
$T(^{\circ}\text{C})$	$R(t)\text{k}\Omega$	$T(^{\circ}\text{C})$	$R(t)\text{k}\Omega$	$T(^{\circ}\text{C})$	$R(t)\text{k}\Omega$	$T(^{\circ}\text{C})$	$R(t)\text{k}\Omega$	$T(^{\circ}\text{C})$	$R(t)\text{k}\Omega$
-40.0	188.399	-6.0	35.4606	28.0	8.9454	62.0	2.8392	96.0	1.0797
-39.0	178.500	-5.0	33.9228	29.0	8.6226	63.0	2.7532	97.0	1.0519
-38.0	169.171	-4.0	32.4599	30.0	8.3130	64.0	2.6701	98.0	1.0250
-37.0	160.378	-3.0	31.0678	31.0	8.0161	65.0	2.5900	99.0	0.9988
-36.0	152.086	-2.0	29.7429	32.0	7.7313	66.0	2.5126	100.0	0.9735
-35.0	144.267	-1.0	28.4813	33.0	7.4580	67.0	2.4379	101.0	0.9489
-34.0	136.890	0.0	27.2800	34.0	7.1958	68.0	2.3659	102.0	0.9251
-33.0	129.930	1.0	26.1356	35.0	6.9441	69.0	2.2962	103.0	0.9019
-32.0	123.360	2.0	25.0452	36.0	6.7025	70.0	2.2290	104.0	0.8795
-31.0	117.157	3.0	24.0060	37.0	6.4705	71.0	2.1640	105.0	0.8577
-30.0	111.300	4.0	23.0154	38.0	6.2477	72.0	2.1013	106.0	0.8365
-29.0	105.767	5.0	22.0708	39.0	6.0336	73.0	2.0407	107.0	0.8160
-28.0	100.539	6.0	21.1698	40.0	5.8280	74.0	1.9820	108.0	0.7961
-27.0	95.5973	7.0	20.3103	41.0	5.6304	75.0	1.9254	109.0	0.7767
-26.0	90.9263	8.0	19.4902	42.0	5.4405	76.0	1.8706	110.0	0.7579
-25.0	86.5090	9.0	18.7073	43.0	5.2579	77.0	1.8177	111.0	0.7396
-24.0	82.3306	10.0	17.9600	44.0	5.0824	78.0	1.7665	112.0	0.7219
-23.0	78.3774	11.0	17.2463	45.0	4.9136	79.0	1.7169	113.0	0.7046
-22.0	74.6359	12.0	16.5647	46.0	4.7513	80.0	1.6690	114.0	0.6876
-21.0	71.0939	13.0	15.9134	47.0	4.5951	81.0	1.6224	115.0	0.6715
-20.0	67.7400	14.0	15.2911	48.0	4.4448	82.0	1.5774	116.0	0.6557
-19.0	64.5629	15.0	14.6963	49.0	4.3002	83.0	1.5339	117.0	0.6402
-18.0	61.5530	16.0	14.1276	50.0	4.1610	84.0	1.4918	118.0	0.6253
-17.0	58.7004	17.0	13.5838	51.0	4.0268	85.0	1.4510	119.0	0.6107
-16.0	55.9963	18.0	13.0637	52.0	3.8976	86.0	1.4116	120.0	0.5965
-15.0	53.4320	19.0	12.5661	53.0	3.7732	87.0	1.3734	121.0	0.5827
-14.0	50.9999	20.0	12.0900	54.0	3.6534	88.0	1.3364	122.0	0.5693
-13.0	48.6924	21.0	11.6350	55.0	3.5380	89.0	1.3006	123.0	0.5562
-12.0	46.5025	22.0	11.1994	56.0	3.4268	90.0	1.2660	124.0	0.5435
-11.0	44.4238	23.0	10.7823	57.0	3.3197	91.0	1.2324	125.0	0.5311
-10.0	42.4500	24.0	10.3828	58.0	3.2165	92.0	1.1999	126.0	0.5191
-9.0	40.5682	25.0	10.0000	59.0	3.1169	93.0	1.1684	127.0	0.5074
-8.0	38.7781	26.0	9.6335	60.0	3.0210	94.0	1.1379	128.0	0.4960
-7.0	37.0776	27.0	9.2822	61.0	2.9285	95.0	1.1083	129.0	0.4848